



IRANIAN SOCIETY of
CRYSTALLOGRAPHY
and MINERALOGY

Vol. 12, No. 1, 1383/2004 Spring & Summer

IRANIAN JOURNAL of
CRYSTALLOGRAPHY
and MINERALOGY

Mineralogical and Geochemical studies of Zeolitic tuffites in Damavand-Firuzkoh area, East of Tehran

B. Taghipour¹, M. Noghreyan², M.A. Mackizadeh², A. Ghasemi¹

1- *Jahad Daneshgahi, Isfahan university of technology.*

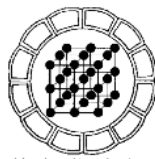
2- *Department of Geology, University of Isfahan, Iran 81746-7344.*

E-mail: jahad59@sepahan.iut.ac.ir

(received: 28/9/2003, received in revised form: 3/3/2004)

Abstract: This study focused on the upper parts of Karaj Formation in Damavand-Firuzkoh area. Field study indicated that the green tuffites of Karaj Formation in Kilan, Hesarbone, and Zarindasht irregularly altered and changed to zeolite and bentonite. Microscopic studies of zeolitic tuffites have shown that the main components of these tuffites are altered glass shards. The shards changed to zeolites from their margins. In addition to zeolite, clay minerals also changed to glass shards. Scanning Electron Microscopic studies confirmed the change of glass shard to zeolite and clay mineral from their margins. The presence of clinoptilolite and carbonate impurity in vitric altered tuffite are determined by thermal curves tests (TG & DTG). Also, X-ray showed clinoptilolite, crystobalite as major mineral and muscovite, montmorillonite as minor mineral in these tuffites. On the base of XRF and ICP, chemical composition of these tuffites are in the range of acid to intermediate rocks compositions. Chemical composition of altered and unaltered tuffites is unique. Base on the petrological studies, the componential magma of the tuffites is calc alkaline. Spider diagrams indicated the enrichment of K, Ba, Th, Rb, which is characteristic of arc magmatism.

Keywords: *Tuffite, Zeolite, Firuzkoh, Clinoptilolite.*



مطالعات کانی‌شناسی و ژئوشیمی توفیتهای زئولیتی شده منطقه دماؤند - فیروزکوه (شرق تهران)

بتول تقی پور^۱، موسی نقره‌بیان^۲، محمدعلی مکی زاده^۲، علی قاسمی^۱

۱- جهاد دانشگاهی دانشگاه صنعتی اصفهان.

۲- گروه زمین‌شناسی دانشگاه اصفهان.

پست الکترونیکی: jahad59@sepahan.iut.ac.ir

(دریافت مقاله ۱۳۸۲/۷/۶ ، دریافت نسخه نهایی ۱۲/۱۲/۱۳۸۲)

چکیده: بخش فوقانی سازند کرج در محدوده دماوند- فیروزکوه مطالعه شده است. بررسی‌های صحرایی نشان می‌دهد که توفیتهای سبز سازند کرج در مناطق کیلان، حصاربن، و زرین دشت به صورت نامنظم دگرسان و در طی این دگرسانی به زئولیت همراه با بنتونیت تبدیل شده‌اند. مطالعات سنگ‌شناسی نشان می‌دهد که بخش اعظم توفیتهای زمینه تیغه‌های شیشه‌ای (Glass Shard) تشکیل شده است، بهطوری که این تیغه‌ها نیز از حاشیه دگرسان شده‌اند. مطالعات میکروسکوپ الکترونی روبشی نیز تبدیل تیغه‌های شیشه‌ای از حاشیه به زئولیت و کانی‌های رسی را تأیید می‌کند. آزمایشات منحنیهای گرمایی (DTG، TG) وجود کانی زئولیتی کلینوپیتیولیت و ناخالصی کربنات را در توفیتهای شیشه‌ای نشان می‌دهد. همچنین فازهای اصلی کلینوپیتیولیت، کریستوبالیت و فازهای فرعی مسکویت و مونت موریلونیت با آزمایش‌های پراش پرتو X (XRD) در توفیتهای شیشه‌ای شناسایی شده‌اند. مطالعات ژئوشیمی انجام شده بر پایه داده‌های ICP و XRF ترکیب شیمیایی توفیتهای زئولیتی را دانست تا رویدادسیت تأیید می‌کند که با ترکیب شیمیایی توفیتهای نادگرسان این منطقه تفاوتی ندارد. همچنین بر پایه این مطالعات مآگمای سازنده توفیتها از نوع کالکوآلکالن است. نمودارهای بهنجار شده نیز غنی‌شدگی از عناصر K, Th, Ba, Rb را نشان می‌دهد که ویژگی مآگمای کمانها یا قوسهای آتشفسانی است.

واژه‌های کلیدی: توفیت، زئولیت، فیروزکوه، کلینوپتیلولیت.

مقدمه

مناطق مورد مطالعه در ۱۴۰ کیلومتری شرق تهران موقعیت جغرافیایی 52° طول شرقی و 35° عرض شمالی بین دماوند تا فیروزکوه قرار گرفته‌اند. مطالعات در این پژوهش بر بخشی از کمریند آتشفشاری ائوسن البرز (دامغان - کوههای طالش) در شرق و غرب تهران انجام شده که در شکل ۱ مشخص شده است. سنگ میزبان، نهشته‌های آتشفشاری-رسوبی سازند کرج است. حوضه رسوی این سازند احتمالاً یک محیط فرونژست مربوط به عملکرد فازهای کششی پس از کوهزایی کرتاسه-پالئوسن است [۱]. لیتلولژی سازند شامل توفیت و مارن، همراه با میان لایه‌های شیل به رنگ سبز روشن تا کرم و در مواردی همراه گچ با توده‌های توف و توفیت سبزرنگ دیده شده است.

توفیت‌های سبز بخش فوقانی سازند کرج در بخشهایی دگرسان شده‌اند. زئولیتی شدن و بنتونیتی شدن محصولات غالب توفیتها هستند [۲]. دگرسانی در این مناطق نظم خاصی نداشته و به صورت انتخابی عمل کرده است، به صورتی که بین واحدهای دگرسان، بخش‌های شیشه‌ای سالم دیده می‌شود. همچنین پیروی زونهای بنتونیتی-زئولیتی از واحدهای گسلی موجود در منطقه نیز از دیگر خصوصیات نواحی دگرسان شده است. مطالعات زئولیت‌زایی در سه ایستگاه کیلان جنوب شرق دماوند، حصارین جنوب غرب فیروزکوه، و زرین‌دشت جنوب فیروزکوه صورت گرفته است.



شکل ۱ موقعیت زمین ساختی آتشفشاری دوران سوم و محدوده مورد مطالعه.

روش مطالعه

در این کار پژوهشی پس از مطالعات صحرایی و نمونه‌برداری، نخست با استفاده از میکروسکوپ نوری مدل BH2 مطالعات سنگ‌شناسی انجام گرفت. برای شناسایی کانیهای زئولیتی، رسی، و دیگر کانیهای همراه از میکروسکوپ الکترونی روبشی مدل Stereo Scan S360 ساخت کارخانه کمبریج انگلستان استفاده شد. آنالیز گرمایی DTG, TG¹ توسط دستگاه مدل 990TA ساخت شرکت PONT DU انجام شد. مطالعات ژئوشیمی ICP-MS توسط دستگاه مدل HP4500+ و برسیهای XRF و XDR به ترتیب توسط دستگاه مدل PW2400-Philips و PW2400 - Philips در شرکت کیان طیف انجام شد.

زمین شناسی عمومی منطقه

فعالیت ماگمایی ائوسن در البرز دارای تنوع و گسترش قابل توجهی است. بخش مهمی از فراورده‌های آتشفسانی ائوسن در البرز شرقی را نهشته‌های آتشفسانی-رسوبی سازند کرج در بر می‌گیرد. در این میان، توفها و توفیهای سبز رنگ با میان لایه‌های آتشفسانی گسترش وسیعی را به خود اختصاص داده‌اند [۳]. توفیهای سبز کرج در مناطق کیلان، حصارین و زرین‌دشت تحت تأثیر عوامل مختلف به کانیهای زئولیتی و رسی تبدیل شده‌اند. زئولیتی شدن تشکیلات وسیعی را تحت تأثیر قرار داده است. توفیهای دگرسان کرمی تا سبز کرم‌رنگ بوده و دارای شکستگی صدفی هستند.

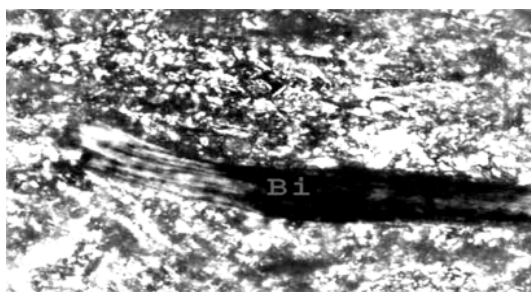
سنگ‌نگاشتی و سنگ‌شناسی

توفیهای شیشه‌ای زئولیتی شده با بافت شیشه‌آواری بخش غالب سنگ‌های این منطقه را تشکیل داده‌اند. توفیتها دارای زمینه شیشه‌ای مت Shank از تیغه‌های شیشه‌ای^۲ به اشكال مختلف کروی، جناغی و تیغه‌ای دیده شده‌اند [۴]. خرد شیشه‌های آتشفسانی از حاشیه به وسیله زئولیت جایگزین شده‌اند. از دیگر کانیهای زمینه علاوه بر زئولیت می‌توان از پلازیوکلاز به دو صورت خرد شده و یا دارای ماکل پلی‌سنتتیک، ذرات پراکنده کوارتز، فلدوپات پیاسیم به صورت خرد شده و دارای خاموشی موجی، بیوتیت‌های تیغه‌ای اکسیدشده، ذرات پراکنده آمفیبیول و کلسیت آمیبی اشاره کرد (شکل ۲ و ۳). از دیگر شواهد دگرسانی در این سنگها وجود آثار فیزیکی زئولیتی شده است. میکروفیسیلهای سیلیسی و رادیولرها می‌توانند منشأ زئولیت باشند و به صورت درجaza به این کانی تبدیل شوند [۵].

1- گران‌سنگی گرمایی و گران‌سنگی گرمایی افتراقی (Differential Thermal Gravimetry)

2- Glass Slard

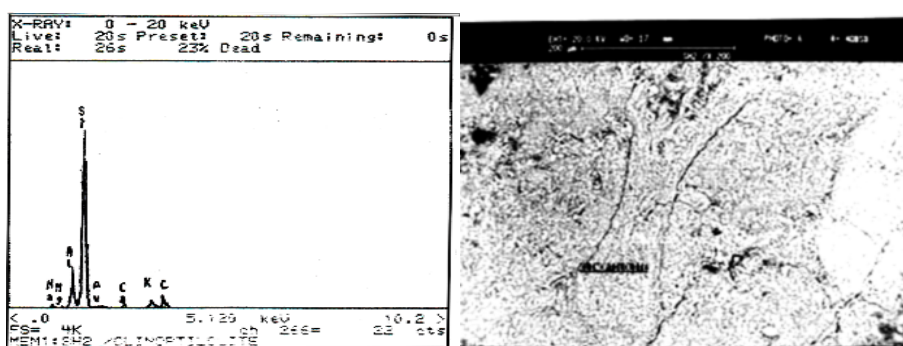
با توجه به ریز دانه بودن توفیتها، برای مطالعه و شناسایی بیشتر کانیهای زئولیتی از میکروسکوپ الکترونی روبشی استفاده شد. تصاویر SEM نشان داده است که زمینه توفیتها رزولیتی شده منطقه فیروزکوه از قطعات بی‌شکل و ریزدانه‌ای تشکیل شده است. آنالیز کیفی این قطعات نیز نشان می‌دهد که عناصر تشکیل دهنده آنها K, Na, Ca, Al, Si هستند (شکل ۴). با توجه به ترکیب آنالیز شیمیایی احتمالاً این قطعات تیغه‌های شیشه‌ای زئولیتی شده است. همچنین همراه با قطعات زئولیتی شده کانیهای ورقه‌ای شکل رسی نیز دیده می‌شوند. آنالیز نقطه‌ای از این ورقه‌ها با ترکیب شیمیایی کانی رسی مونت موریلونیت مطابقت دارد (شکل ۵).



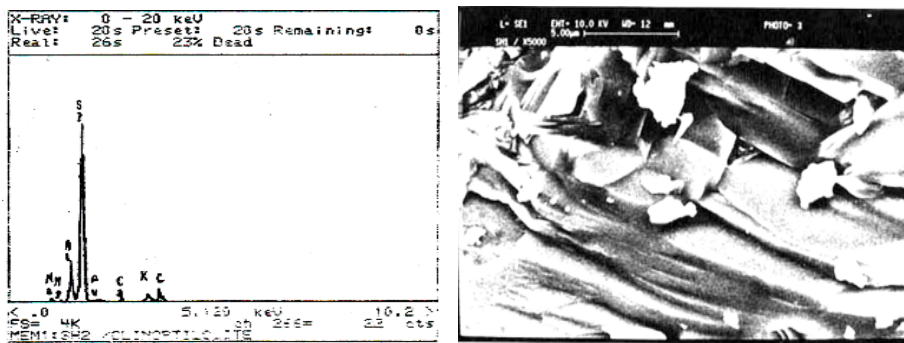
شکل ۲ بیوتیت در زمینه شیشه‌ای توف زئولیتی شده فیروزکوه.



شکل ۳ تیغه‌های شیشه‌ای که از حاشیه زئولیتی شده است.



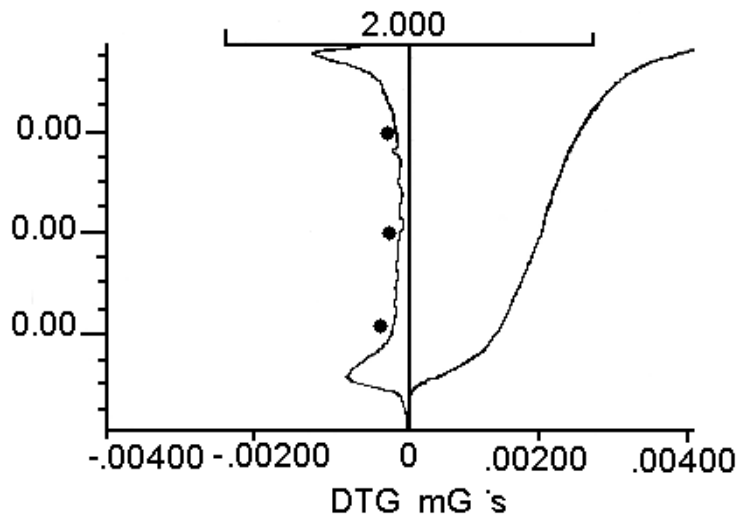
شکل ۴ تصویر SEM تیغه شیشه‌ای دگرسان شده.



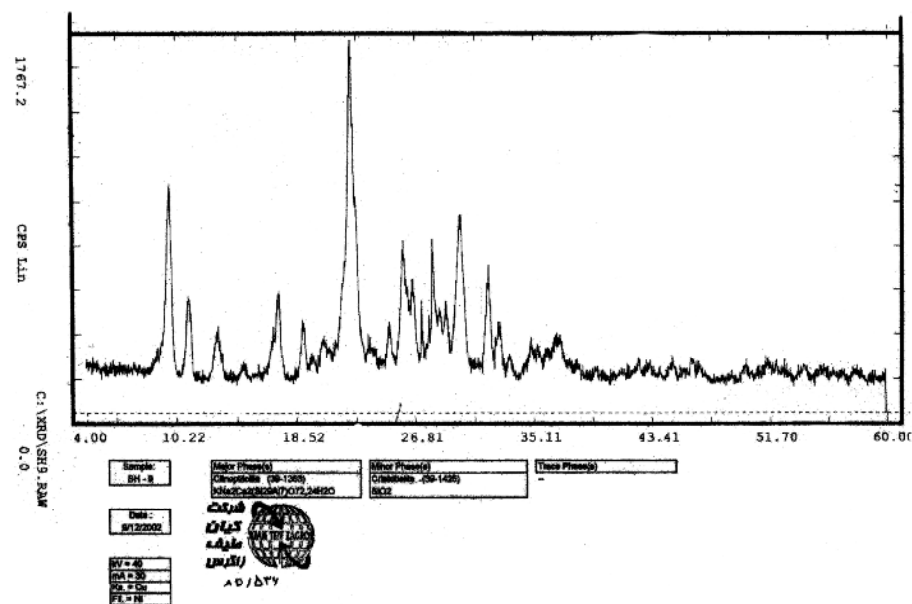
شکل ۵ تصویر SEM به همراه آنالیز نقطه‌ای آن از کانیهای رسی.

زئولیت‌ها از جمله کانیهای آبداری هستند که در اثر گرما بدون ازهم‌پاشی ساختاری، آب خود را از دست می‌دهند [۶]. در روش گران‌سنجدی گرمایی و گران‌سنجدی گرمایی افتراقی، این کانیهای آبدار با از دست دادن آب ساختاری خود قله گرمایی ظاهر می‌سازند [۷]. هر قله، سرشتی کانی خاصی است که با توجه به استانداردهای مربوط به فازها شناسایی می‌شوند. قله جذب گرمایی که از 28°C شروع و در 475°C به پایان می‌رسد و با کاهش جرم 11.38% همراه است معرف کانی زئولیت از نوع کلینوپیتیولیت است. همچنین قله گرمایگیری

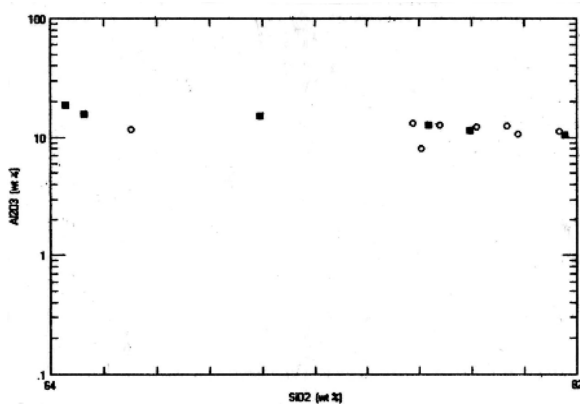
که از 335°C شروع و در 74°C پایان می‌یابد، و با کاهش جرم 50.52% همراه است، نشان‌دهنده ناخالصی کربنات است (شکل ۶).



شکل ۶ آنالیز گرمایی از توف زئولیتی شده نشان دهنده فاز کلینوپتیلولیت و ناخالصی کربنات. براساس نتایج XRD در شکل ۷، کانیهای اصلی توفیتهای زئولیتی فیروزکوه، زئولیت از نوع کلینوپتیلولیت کوارتز و کریستوبالیت است و کانیهای فرعی این توفیتها مسکویت و مونت-موریلوبنیت است. مقایسه توفیتهای سالم و زئولیتی شده منطقه فیروزکوه به وسیله XRF و ICP-MS نشان می‌دهد که ترکیب شیمیایی این سنگها شبیه یکدیگرند (جدولهای ۱ و ۲). شکل ۸، نسبت عناصر مختلف و نیز نسبت $\text{SiO}_2/\text{Al}_2\text{O}_3$ بر حسب سیلیس را نشان می‌دهد.



شکل ۷ بررسی طرح XRD وجود کانی کلینوپتیلولیت را به عنوان کانی اصلی توفهای دگرسان شده فیروزکوه تائید می‌کند.



شکل ۸ مقایسه توفیتهای سالم (○) و زئولیتی شده (■).

جدول ۱ نتایج آزمایش‌های ICP توفیتهای زئولیتی شده منطقه فیروزکوه.

عناصر اصلی	درصد	SK7-2	SK6	SH1	SH4	عناصر اصلی	درصد	SK7-2	SK6	SH1	SH4
SiO ₂	۵۸.۸۵	۷۰.۷۰	۶۶.۵۴	۶۶.۵۳	Ge ppm					.۸۶	۱.۶۸
Fe ₂ O ₃	۱۰.۲۲	۶.۳۶	۱۱.۴۳	۶.۹۸	Hf ppm					۲.۹۹	۰.۵۷
Al ₂ O ₃	.۸۳	.۸۶	۱.۲۸	۱.۰۴	Ho ppm					۰.۳۴۹	.۶۹
Fe ₂ O ₃	.۱۳	<1.d	<1.d	.۰۰۵	In ppm					<1.d	.۴۱۲
MgO	.۴۱	.۶۲	۱.۲۶	.۶۰	La ppm					۱.۸۲	<1.d
CaO	.۷۴	.۸۷	۱.۱۵	.۷۵۸	Lu ppm					.۱۸۵	۱۹.۹

Na ₂ O	.۱۶	۱۲۸	۲۵۷	۲۵۰	Mo ppm			.۸۴	.۲۹۴
K ₂ O	۷۶۵	۱۵۱	۱۵۴	۱۲۵	Nb ppm			۷۵۹	.۴۰
TiO ₂	.۱۳	.۱۴	.۱۷	.۱۹	Nd ppm			۹۳۸	۶۸۲
P ₂ O ₅	.۰۷	.۰۷	.۰۸	.۰۵	Ni ppm			<1.d	۱۱۹
LOI	۱۱۵۹	۱۱۵۲	۱۲۷۴	۱۳۱۱	Pb ppm			۹۸۵	<1.d
Total	۹۹.۷۸	۹۹.۹	۹۹.۸۶	۹۹.۸۸	Pr ppm			۲۹۷	۵۸۳۳
As ppm			۱۳۴	۱۲۶	Rb ppm			۳۶۳	۵۲۷
Ba ppm			۱۴۲	۵۸۲	Sb ppm			.۱۴	.۲۵
Be ppm			۱.۹۴	<1.d	Sm ppm			۱۵۱	۲۲۱
Bi ppm			.۲۰	.۱۶	Sn ppm			.۹۸	.۸۷
Cd ppm			<1.d	<1.d	Sr ppm			۹۶۰	۱۳۰.۵
Ce ppm			۳۳.۴	۳۴.۰	Ta ppm			.۷۲	.۷۸
Co ppm			<1.d	<1.d	Th ppm			۹.۰۵	۸.۰۵
Cr ppm			<1.d	۲۸.۲	U ppm			.۶۴	۱.۴۱
Cs ppm			۱.۲۰	۲.۸۶	V ppm			<1.d	<1.d
Cu ppm			<1.d	.۹۹	W ppm			۱.۰۲	۱۲۲
Dy ppm			۱.۸۲	۱.۷۰	Y ppm			۱.۰۹	۱۳۹
Er ppm			.۹۸۶	۱.۸۶	Yb ppm			۱.۰۸	۱۶۶
Eu ppm			.۲۴۱	.۳۶۰	Zn ppm			۴۹.۸	۱۱۳
Ga ppm			.۹۹۹	.۳۶۰	Zr ppm			۱۲۲	۱۰۲
Gd ppm			۱.۷۵	.۹۴۹					

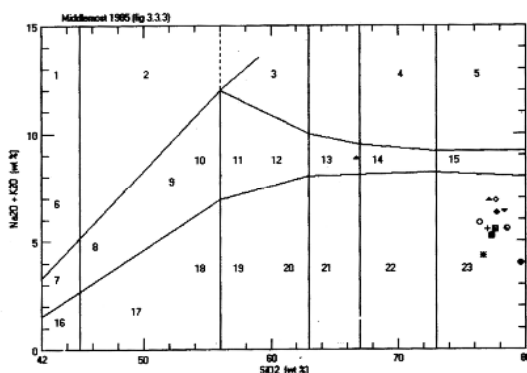
جدول ۲ آزمایش XRF چهار نمونه از توفیت‌های زئولیتی شده منطقه فیروزکوه.

نمونه عنصر	Zn-6	Zn-19	ZS301	Sh2	نمونه عنصر	Zn-6	Zn-19	ZS301	Sh2
SiO ₂	۷۲.۳۱	۷۵.۱۶	۷۲.۹۹	۷۹.۸۱	V ppm	۳۶	۳۴	۲۵	۲۴
Al ₂ O ₃	۱۱.۵۲	۱۱.۸۴	۱۱.۹۲	۱۱.۰۵	W ppm
Fe ₂ O ₃	۱.۴۶	۱.۴۳	۱.۳۰	۱.۲۲	Y ppm	۲۶	۲۵	۱۹	۱۴
CaO	.۶۷	.۸۲	۲.۲۳	.۶۶	Zr ppm	۳۴۳	۳۲۹	۱۸۱	۱۲۶
Na ₂ O	۲۹.۵	۲۵.۱	۲.۰۲	۲.۵۵	Zn ppm	۶۳	۵۲	۱۵۶	۳۴
MgO	.۸۱	.۹۹	.۷۴	.۳۰	Mo ppm
K ₂ O	۲.۲۶	۱.۲۶	۲.۹۳	۱.۷۷	Ba ppm	۱۲۹	۱۵۲	۴۸۹	۳۰.۶
TiO ₂	.۳۲۸	.۳۶۸	.۱۶۵	.۱۷۸	Co ppm	۱	۶	۲	۱
MnO	.۰۰۵	.۰۱۲	.۰۹۲	.۰۰۴	Cu ppm	۲	۱	۷	۱
P ₂ O ₅	.۰۳۱	.۰۳	.۰۳۹	.۰۰۲۳	Nb ppm	۹	۱	۸	۱۱
L.O.I	۵۸.۷	۵۱.۸۰	۵۱.۱۳	۲.۰۲	Ni ppm	۶	۸	۹	۲
Cl ppm	۵۴۵۷	۲۰.۲۹	۸۶۸	۱۲۴	Pb ppm	۱۹	۱۴	۲۶	۱۱
S ppm	۲۱۱	۷۹	۳	۲۰.۱	U ppm	۱	۱	۱	۱
Rb ppm	۸۶	۵۰	۸۳	۴۵	Th ppm	۵	۴	۵	۱
Sr ppm	۱۵۰.۳	۷۶۸	۱۵۰.۰	۶۳۱					

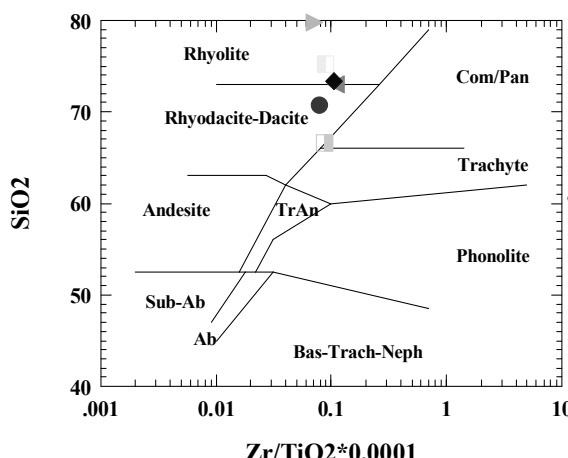
برای نامگذاری توفیتهای منطقه دماوند-فیروزکوه از نمودار الکالی‌ها بر حسب سیلیس استفاده شد [۸] که در شکل ۹ نشان داده شده است. شکل ۹، ماهیت اسیدی بودن توفیتهای فیروزکوه، که در محدوده ریولیت قرار دارند، را نشان می‌دهد.

همچنین نمودار SiO₂/Zr/TiO₂ در مقابل ۱۰ نشان می‌دهد که نمونه‌ها در محدوده ریولیت تا ریوداسیت قرار دارند. این نتیجه تأییدی دیگر بر اسیدی بودن توفیتهای این منطقه است [۹]. برای تعیین قلمرو ماقمایی از نمودارهای مختلفی استفاده می‌شود، بعضی از

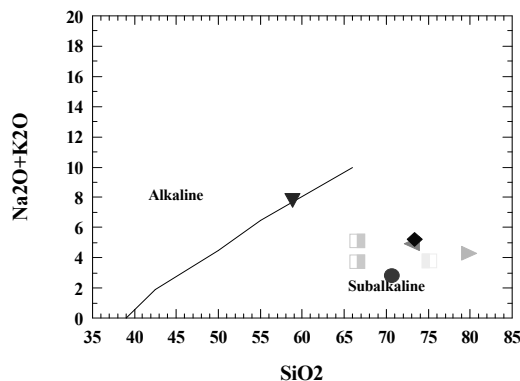
این نمودارها که جهت تعیین نوع ماقما در این پژوهش استفاده شده است به شرح زیر است: در نمودار تغییرات سیلیس به آکالالی که سنگهای آذرین را به دو محدوده آکالان و ساب آکالان تقسیم می‌کند [۱۰]، سنگهای منطقه فیروزکوه در محدوده ساب آکالان قرار دارند. برای بررسی سنگهای ساب آکالان نیز از نمودار AFM استفاده شده است. این نمودار بر اساس درصدهای جرمی آکالالیها ($\text{Na}_2\text{O} + \text{K}_2\text{O}$), اکسیدهای آهن ($\text{FeO} + \text{Fe}_2\text{O}_3$) و اکسید منیزیم (MgO) ترسیم شده است که در این نمودار دگرسانی آتشفشاری فیروزکوه ماهیت کالکوآکالان نشان می‌دهند (شکل‌های ۱۱ و ۱۲).



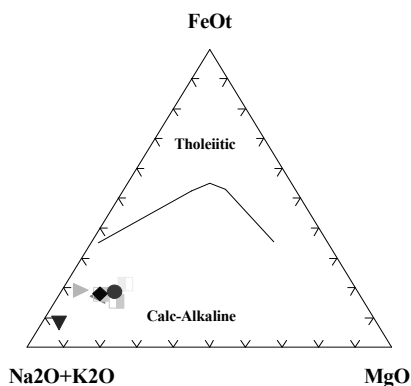
شکل ۹ تغییر آکالالیها بر حسب سیلیس جهت تقسیم بندی سنگها.



شکل ۱۰ تغییر Zr/TiO_2 بر حسب SiO_2 جهت تقسیم بندی سنگها.



شکل ۱۱

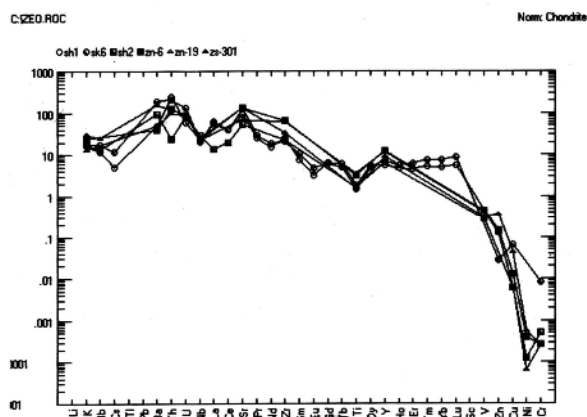


شکل ۱۲

ژئوشیمی

عناصر کمیاب و نادر به دست آمده از آنالیزهای ICP-MS و XRF توفیتهای زئولیتی شده، نسبت به کندریت و جبهه اولیه مقایسه شدند (شکل ۱۳). این نمودارهای عنکبوتی، غنی‌شدگی از عناصر K, Rb, Ba و Th را نشان می‌دهند که ویژگی سینگهای ماغمایی کمانها یا قوسهای آتشفشاری است. ناهنجاری منفی Ti و Nb نشان‌دهنده ارتباط این توفیتها با محدوده فرورانش و کوهزایی است. شب منفی این نمودارها از مشخصات ماغمای کالکوآلکالن، آلکالن و

شوشونیتی است. با توجه به جدولهای ۱ و ۲، میزان بالای استرانسیوم مربوط به تشکیل توفیتهای زئولیتی شده در یک محیط قلیایی و یا به دلیل توانایی جذب زیاد توفیتهای زئولیتی شده برای کاتیون‌های Sr و Ba بوده است [۱۱ و ۱۲]. زئولیت ایجاد شده طی دگرسانی توههای منطقه دماوند- فیروزکوه، کلینوپتیلولیت است. کلینوپتیلولیت زئولیتی است که در سنگهایی با ترکیب شیمیایی اسیدی و در مراحل اولیهٔ زئولیتی شدن شکل می‌گیرد [۱۳]. با توجه به اسیدی بودن توفیتهای منطقه دماوند- فیروزکوه می‌توان تشکیل این کانی را انتظار داشت. همچنین نقش میکروفسیلهای سیلیسی در زئولیت زایی بی‌تأثیر نیست [۱۴].



شکل ۱۳ نمودار بهنجار شده توفیتهاي زئوليتی شده.

بحث و برداشت

در کمربند توفیتهای سبز واقع در شرق تهران و در منطقه دماوند- فیروزکوه، بخشی از سازند کرج تحت تأثیر شرایط محیطی دگرسان شده و طی این دگرسانی به زئولیت و کانی رسی تبدیل شده است. مطالعات XRD، DTG، TG و SEM نوع کانی زئولیتی را کلینوپیتولیت و نوع کانی رسی را مونتموریونیت مشخص کرده است. همچنین مطالعات ICP انجام شده بر توفیتهای فیروزکوه نشان می‌دهد که ترکیب شیمیایی توفیتهای سالم و زئولیتی شده تفاوتی ندارد و هر دو نوع سنگ ترکیب ریولیتی دارند. همچنین نمودار AFM نشان می‌دهد که مآگمای این توفیتها از نوع کالکوآلکالن است. برای تشکیل زئولیتها می‌توان تصور کرد که آبهای جوی و زیرزمینی حین عبور از واحدهای نمکی (احتمالاً گنبدهای نمکی) و تشکیلات

ژیپسی موجود در منطقه) ماهیت قلیایی و شور به خود می‌گیرند. تشکیلات گستردۀ کنگلومرای پلیوسن و پلیوکواترنر نیز مانند یک سفرۀ آب زیر زمینی، این آبهای را در خود ذخیره می‌کنند. در چنین محیطی که آبهای قلیایی با سنگهای پیروکلاستیک دارای ترکیب اسیدی واکنش دارند، کانیهای زئولیتی شکل می‌گیرند.

مراجع

- [۱] امامی م، ”ماگماتیسم در ایران“، سازمان زمین‌شناسی و اکتشافات معدنی کشور (۱۳۷۹) صفحه ۶۰۸.
- [۲] قربانی م، حجازی م، ”زمین‌شناسی ایران، بنتونیت – زئولیت“، انتشارات سازمان زمین‌شناسی کشور (۱۳۷۹) صفحه ۱۲۸.
- [۳] درویش زاده ع، ”زمین‌شناسی ایران“، انتشارات امیرکبیر تهران (۱۳۸۰) صفحه ۹۰۱.
- [۴] تقی‌پور ب، ”مطالعات زمین‌شناسی و کانی‌شناسی توفیق‌های زئولیتی شده سازند کرج در شرق تهران“، منتشر نشده است (۱۳۸۱) صفحه ۱۹۳.
- [۵] Hay R.I., “Geology of zeolites in sedimentary rocks: mineralogy and geology of zeolites”, Reviews in mineralogy, Min. Soc. of Am. **4** (1985) pp. 53-93.
- [۶] Brown M.E, “Introduction to thermal analysis techniques and applications”, Chapman & Hall (1989).
- [۷] کاظمیان ح، ”آمیش پسمان‌های رادیواکتیو مایع حاصل از محصولات شکافت اورانیوم طبیعی پرتو عاری از $Pb131$ و $Mo90$ بوسیله زئولیت‌های طبیعی ایران“، پایان نامه دکتری (۱۳۷۸) صفحه ۲۷۷.
- [۸] Middlemost E.A.K., “Magma and magmatic rocks: An Introduction 60 Igneous petrology”, Longman group, UK (1985) p. 226.
- [۹] Le maitre R.W., “A classification of Igneous Rock and Glassology of term”, Black well scientific publication (1998) p. 195.
- [۱۰] Irvine T.N., Barragar W.R.A., “A guide to the classification of the common volcanic rocks”, can. Jour. Earth. Science (1971) pp. 523-548.
- [۱۱] Hotmes D.A., “Zeolites, Industrial minerals and rocks” N. 93 (1999) pp.1-59.
- [۱۲] Mumpton F.A., “Uses of natural zeolites in agriculture and industry, Vol. **96**, Issu7, P.N.A.S (Proceeding of the national Academy of science of the united states of America) (1999) pp. 3463-3470.
- [۱۳] Esenli F., Eren B., Coban F., “Alteration products of pyroclastic rocks in Thrace, Turkey”, mineral deposits (1997) pp. 713-716.
- [۱۴] Gottardia G., and galli E., “Natural zeolite” spring (1985) p. 711.

